

*Higashino Lab.*

### [奨励講演] 近隣ノードの移動履歴情報を用いた位置推定手法の現実的環境における評価

野村 崇志, 梅津 高朗, 山口 弘純, 東野 謙夫  
大阪大学 大学院情報科学研究科

MoMuC 5月沖縄研究会

*Higashino Lab.*

### 発表概要

- アドホックネットワークにおけるモバイル端末向けの位置推定手法を提案
- 現在の推定位置だけでなく、過去一定期間の推定位置の集合(移動履歴)を、隣接ノード間で繰り返し交換・修正
- 対象
  - ランドマーク: 無線基地局など、低密度
  - ノード: 近距離無線通信端末を保持する歩行者  
常に隣接ノードが複数存在
- 目標
  - ノードの移動軌跡を GPS と同程度以上の精度で推定
- より現実を意識したマップやノードモビリティで評価

MoMuC 5月沖縄研究会

*Higashino Lab.*

### 背景

- 様々なモバイル通信端末の普及
  - 携帯電話, RFID, etc...
- 位置情報サービスへの期待
  - ルート案内, 子供見守りサービス
  - 商品管理
  - GPS (Global Positioning System)
    - 一般的な位置情報を得る手段
    - 受信機の電力消費が大きい
    - 屋内・地下などでは機能しない

MoMuC 5月沖縄研究会

*Higashino Lab.*

### 既存手法

- 正確な位置情報を発信するノード(ランドマーク)の位置を基準に、無線通信を利用して位置を推定
- レンジベース
  - ランドマークとの距離・角度などから推定
  - GPS
    - 人工衛星からの信号の到達時間から測距
    - 高精度だがデバイスのコストも大きい
- レンジフリー
  - コネクティビティ情報のみ使用
  - 一般的な通信デバイスのみで利用可能
  - 低成本だが位置の特定には工夫が必要

MoMuC 5月沖縄研究会

*Higashino Lab.*

### レンジフリー手法の例 その1

- ランドマークの情報を直接利用
  - Centroid [IEEE Personal Communications Magazine 2000]
  - ランドマーク密度が低いと十分な精度を得られない
- マルチホップ通信を用いて距離を近似
  - Amorphous [IPSN '03]
  - モバイルノードの場合、ランドマークからのホップ数が頻繁に変化し、把握し続けるのは難しい

ビーコンを受信できた LM の位置の重心を推定位置とする

ランドマークからのホップ数でランドマークとの距離を推定

2-hop  
1-hop  
3-hop

MoMuC 5月沖縄研究会

*Higashino Lab.*

### レンジフリー手法の例 その2

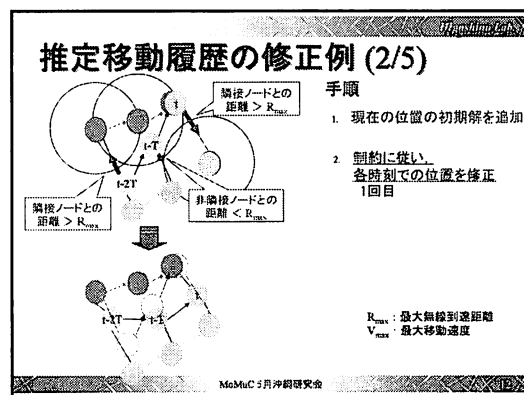
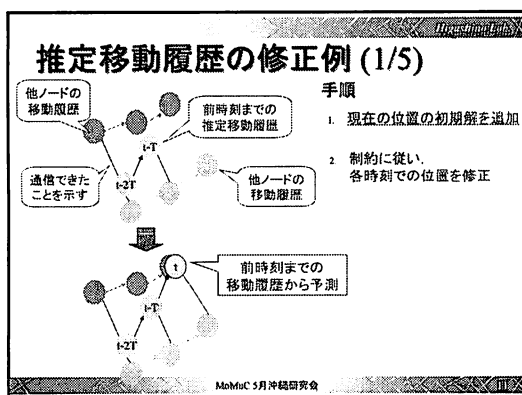
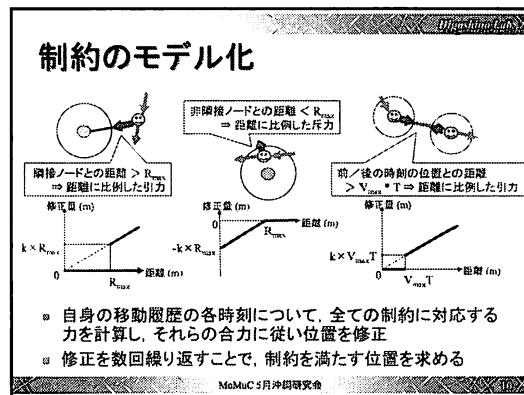
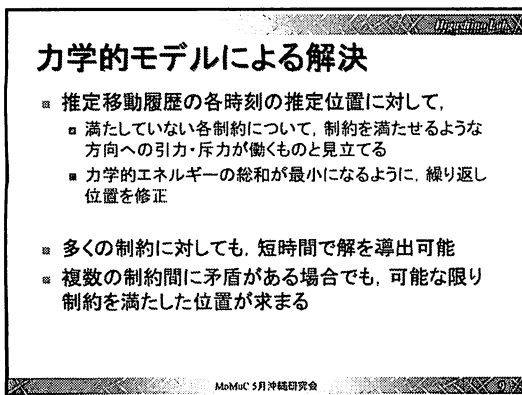
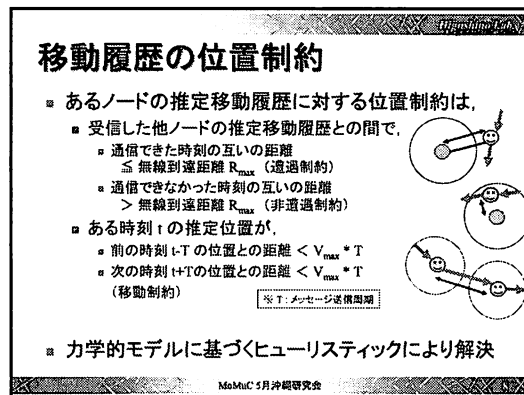
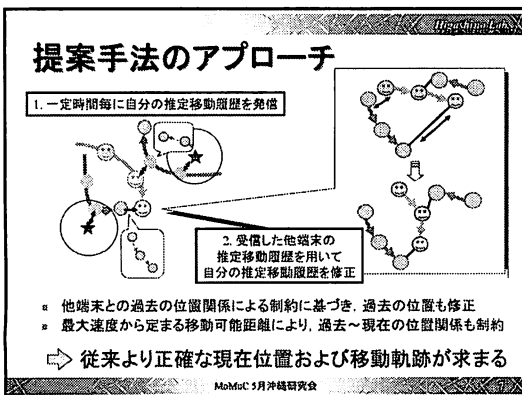
- ノード間で推定位置を交換 & 逐次修正
  - Sextant [MobileCom'2005]
    - 正確だが領域の表現に必要なデータ量が増大
    - ノードの移動を考慮していない
- ノードの移動性を考慮
  - MCL (Monte-Carlo Localization) [MobileCom '04]
    - ノード間で存在可能領域を表現
    - ベシエ曲線により存在可能領域を表現
    - LM との通信でサンプルを交換し、領域を狭小化

複数のサンプルを用いて存在可能領域を表現

サンプルは速度  $v < V_{max}$  でランダム移動 ⇒ 領域が拡大

LM との通信でサンプルを交換 ⇒ 領域が縮小

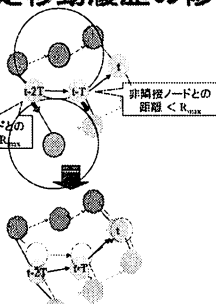
- 85 -



### 推定移動履歴の修正例 (3/5)

#### 手順

- 現在の位置の初期解を追加
- 制約に従い、各時刻での位置を修正  
2回目



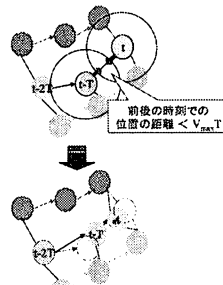
$R_{max}$ : 最大無線到達距離  
 $V_{max}$ : 最大移動速度

MoMuC 5月沖縄研究会

### 推定移動履歴の修正例 (4/5)

#### 手順

- 現在の位置の初期解を追加
- 制約に従い、各時刻での位置を修正  
3回目



$R_{max}$ : 最大無線到達距離  
 $V_{max}$ : 最大移動速度

MoMuC 5月沖縄研究会

### 推定移動履歴の修正例 (5/5)

#### 手順

- 現在の位置の初期解を追加
- 制約に従い、各時刻での位置を修正  
4回目

各制約を満たした解が求まる

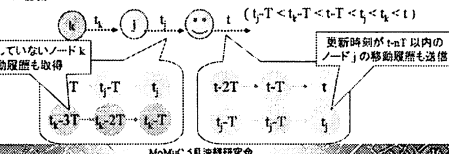
$R_{max}$ : 最大無線到達距離  
 $V_{max}$ : 最大移動速度

MoMuC 5月沖縄研究会

### 間接伝播を利用した精度向上

- 自身の推定移動履歴に加え、保持している他ノードの推定移動履歴のうち、過去  $nT$  時間以内に発信されたものも同時に送信
  - 直接通信していないノードの推定移動履歴も取得できる
    - 非浪費割約として利用
  - 過去に一度通信したノードについても、過去に遭遇した時点より正確になつた移動履歴を取得できる

例:  $n=1$  の場合



MoMuC 5月沖縄研究会

### ランドマークについて

- ランドマークは、自分の正確な位置(移動履歴)を、ノードと同様に一定の周期毎に送信
- 図示：一个节点发送位置信息，另一个节点接收并更新自己的位置估计。
- ランドマークは自分の移動履歴を修正しないので、ノードの位置はランドマーク位置が基準になる

MoMuC 5月沖縄研究会

### 性能評価

- シミュレーション実験により、提案手法を評価
  - シミュレータでは推定過程を可視化
- 四通りのマップ・ノードモビリティ
  - 開空間マップ×RWP モデル
  - 開空間マップ×待ち合わせモデル
  - 大通りマップ×歩行流モデル
  - マンハッタンマップ×RSID モデル
- 都市部や屋内における人の動きを意識した環境



MoMuC 5月沖縄研究会

## 評価シナリオ1 – 開空間マップ×RWPモデル

- 評価環境**
  - 領域:  $50 \times 50 \text{ m}^2$  の開空間マップ
  - 移動モデル: Random WayPoint
    - ランダム位置への移動とランダム時間の静止を繰り返す
  - ノード移動速度:  $[1.0, 2.0] \text{ m/s}$
  - メッセージ送信周期 T:  $1.0 \text{ s}$
  - 送信移動履歴長: 過去 20 周期分
  - 無線到達距離  $R_{\max}: 10 \text{ m}$  (均一)
- 評価項目**
  - 移動履歴の間接伝播の影響
  - ランドマーク数/ノード数の影響
    - ランドマーク数: 4, 9, 16
    - ノード数: 25, 50, 100, 200
    - 既存手法の MCL と比較

MoMuC 5月沖縄研究会

## 移動履歴の間接伝播の影響

- 時刻 t の位置の、時刻 t, t+T, ..., t+nT 時点での推定誤差**
- 利用帯域幅**

■ n=0 ■ n=1 ■ n=2

n=2 を規定値とする

MoMuC 5月沖縄研究会

## ランドマーク数・ノード数の影響

- ランドマーク数**
  - ランドマークが少ないとも十分な精度を維持
- ノード数**
  - ノード数が 25 のときでも誤差は  $5 \text{ m} (= 0.5 \times R_{\max})$  まで収束

※ノード数 25 ⇔ 平均密度: 1 ノード/ $100 \text{ m}^2$  平均隣接ノード数: 3.6

MoMuC 5月沖

## 評価シナリオ2 – 開空間マップ×待ち合わせモデル

- 目的**
  - 頻繁にノードが入れ替わる場合の影響を評価
- 評価環境**
  - 領域:  $50 \times 50 \text{ m}^2$  の開空間マップ
  - ノードモビリティ: 右図参照
  - ノード移動速度:  $[1.0, 2.0] \text{ m/s}$
  - メッセージ送信周期 T:  $1.0 \text{ s}$
  - 送信移動履歴長: 過去 10 周期分
  - 無線到達距離  $R_{\max}: 10 \text{ m}$  (均一)
  - ノード数: 50
    - ノードがひとつ追加するたびに、新たなノードを追加
- 三通りの静止時間で評価**

① 四隅のいずれかから登場  
② ランダム位置でランダム時間静止  
③ 四隅のいずれかから退場

MoMuC 5月沖縄研究会

## シナリオ2 – 結果

静止時間(s)	ノード交代率 (node/s)	平均静止ノード数	誤差 (m) $t \rightarrow t+20T$
[0, 20]	0.79	12.8	4.9 → 4.1
[20, 50]	0.63	21.3	5.2 → 4.3
[50, 100]	0.43	30.4	5.4 → 4.4
(開空間マップ)	0	19.7	4.7 → 3.8

■ シナリオ1に近い精度で推定が行えている  
■ ノードの入れ替わりはほとんど影響ない

MoMuC 5月沖縄研究会

## シナリオ2 – 推定された軌跡の例

推定軌跡 実際の軌跡

左上から退場 100sほど静止 左上から登場

MoMuC 5月沖縄研究会

### 評価シナリオ3 – 大通りマップ×歩行流モデル

- 目的**
  - 本日の道路を想定
  - ノードの移動する向きがある程度限定されている場合の影響を評価
- 評価環境**
  - 領域: 大通りマップ
  - 幅 25 m、長さ 100 m
  - 移動モデル:
    - 道路のどちらか一方から現れ、他方へ移動
  - ノード移動速度: [1.0, 2.0] m/s
  - メッセージ送信周期 T: 1.0 s
  - 送信移動履歴長: 過去 10 周期分
  - 無線到達距離 R<sub>max</sub>: 10 m (均一)
  - ノード数: 50

MoMuC 5月沖縄研究会

### シナリオ3 – 結果

- 推定誤差**
  - 5.8 m → 5.0 m (A)
  - 進行方向に対して
    - 垂直な向きへの誤差が大きい
    - 対面からの集団と遭遇しない期間が続くと平行な向きへの誤差も拡大
  - 位置関係だけをみると比較的正しい (B)
- LM配置を (A) から (B) に**
  - 推定誤差は 4.8 m → 3.6 m (B)

MoMuC 5月沖縄研究会

### シナリオ3 – スナップショット

(A) 適当な時刻の実際の位置

(B) 端部の機別車がやや向上

全般的に下側に寄ってしまって

### 評価シナリオ4 – マンハッタンマップ×RSDモデル

- 目的**
  - 建物内の通路を想定
  - ノードの移動可能な領域・方向が既定されている場合の影響を評価
- 評価環境**
  - 領域: マンハッタンマップ
    - 幅 2m、長さ 48m の通路が 3x3 本
  - 移動モデル: Random Street Decision
    - 交差点に到着する度に、後方以外から進行方向をランダムに決定
  - ノード数: 50
    - シナリオ1, 2 と同程度のノード密度
- 三通りのランドマーク配置で評価**

MoMuC 5月沖縄研究会

### シナリオ4 – 結果

- 推定誤差**
  - (a) 6.5 m → 5.6 m (b) 5.0 m → 3.6 m
  - (c) 5.2 m → 3.7 m
- リアルタイムに得られる推定位置の精度は開空間マップより悪い**
- 一定時間経過後に修正された後の推定位置の精度は、LM配置したまでは同程度まで収束**
- しかし軌跡を目で見比べると**
  - (a), (c) が似たような形状に
  - (b) が角が丸まり一番似てない

⇒ 推定誤差による評価と印象評価に食い違い
- また、ノードに障害物情報を与えて利用することで、より正確な位置・軌跡を推定可能と思われる**

MoMuC 5月沖縄研究会

### シナリオ4 – 軌跡の比較例

実際の軌跡

(a) (b) (c)

推定誤差は (a) より小さいが、推定された軌跡を比較すると、角部がうまくトレースできていないなど、(a) より悪く見える

MoMuC 5月沖縄研究会

## まとめ

- モバイル端末向けの位置推定手法を提案
  - アドホック通信によりノード間で移動履歴を交換
  - 力学的モデルに基づき位置制約を満たす解を導出
  - シミュレーション実験から
    - 開空間マップにおいて、 $R_{max} = 10 \text{ m}$ に対して、 $1 \text{ ノード}/100 \text{ m}^2$  のノード密度で誤差  $5 \text{ m}$  まで収束
    - ノードの入れ替わりはほとんど影響ない
    - マップに対するランドマークの配置が精度に大きく影響

## 今後の課題

- 精度を維持しつつトラフィック量を削減
- より現実的な電波モデルによる評価
- 障害物情報の利用
- 推定誤差以外の定量的な評価指標を検討
- 実際の利用シナリオ案の検討
  - 市街地や複合商業施設内などで、友人の居場所を探索
  - イベント会場で、参加者の動向を調査

## 参考文献

- [1] A. Savvides, C.-G. Han and M. B. Srivastava: "Dynamic fine-grained localization in ad-hoc networks of sensors", Proc. of MobiCom 2001, pp. 166-179 (2001).
- [2] R. Nagpal, H. Shrobe and J. Bachrach: "Organizing a global coordinate system from local information on an ad hoc sensor network", Proc. of IPSN 2003, pp. 333-348 (2003).
- [3] S. Guha, R. Murty and E. G. Sizer: "Sextant: a unified node and event localization framework using non-convex constraints", Proc. of MobiHoc 2005, pp. 205-216 (2005).
- [4] L. Hu and D. Evans: "Localization for mobile sensor networks", Proc. of MobiCom 2004, pp. 45-57 (2004).
- [5] A. Uchiyama, S. Fujii, K. Maeda, T. Umeda, H. Yamaguchi and T. Higashino: "Ad-hoc localization in urban district", Proc. of IEEE INFOCOM Mini-Symposium, pp. 2306-2310 (2007).
- [6] P. A. Eades: "A heuristic for graph drawing.", Congressus Numerantium, Vol. 42, pp. 149-160 (1984).
- [7] T. Kamada and S. Kawai: "An algorithm for drawing general undirected graphs", Inf. Process. Lett., 31, 1, pp. 7-15 (1989).
- [8] J. Brock, D. Maltz, D. Johnson, Y.-C. Hu and J. Jetcheva: "A performance comparison of multi-hop wireless ad hoc network routing protocols", Proc. of MobiCom 1998, pp. 85-97 (1998).